Nov. 2025

催化与分离提纯技术

氮掺杂碳材料负载合金相 CuCo 催化剂的 制备及催化 CO₂ 加氢合成乙醇性能

毛瑀中1,祝建章2,查飞1*,田海峰1,唐小华1

(1. 西北师范大学 化学化工学院,甘肃 兰州 730070; 2. 巴音郭楞职业技术学院 石油化工学院,新疆库尔勒 841000)

摘要: 以三聚氰胺和 β-环糊精为原料,通过辅助浸渍法制备了氮掺杂碳材料(NC)负载合金相 CuCo 催化剂 CuCo/NC,通过 XRD、SEM、EDS、CO₂-TPD、H₂-TPR、N₂ 吸附-脱附、XPS 和 Raman 光谱对其进行了表征。 利用固定床反应器探究了 CuCo/NC 催化 CO₂ 加氢合成乙醇的性能,考察了 n(Cu):n(Co)、反应温度、V(H₂)/V(CO₂)、空速、反应压力对反应的影响,推测了催化反应机理。结果表明,β-环糊精和乙二胺四乙酸的加入促进了 Cu、Co 在 NC 表面的分散性。由 n(Cu):n(Co)=2:1 制备的催化剂 Cu₂Co₁/NC 具有最大的比表面积(48.07 m²/g)。在反应温度 200 °C、V(H₂)/V(CO₂)=3、空速 12000 mL/(g_{cat}·h)、压力 2.0 MPa 的条件下,CO₂转化率为 9.3%,乙醇选择性为 18.0%;在 80 h 的稳定性测试中,CO₂转化率为 7.8%~9.3%,乙醇选择性保持在 16.6%~18.0%。CuCo/NC 表面不同的 N 环境(吡啶 N、石墨相 N)能够协调 CO₂活化加氢、碳链增长的过程,Cu⁰、Cu⁺、吡啶 N 和石墨 N 共同决定 CO₂的吸附活化,Co—N 可以有效促进非解离 CO 的加氢,得到活性中间体*CH_xO,促进碳链增长。

关键词: CuCo 合金; CO₂加氢; 乙醇; 环糊精; 三聚氰胺; 催化技术

中图分类号: TQ223.122; O643.36 文献标识码: A 文章编号: 1003-5214(2025)11-2502-09

Preparation of CuCo catalyst supported by nitrogen-doped carbon material and its catalytic performance for CO₂ hydrogenation to ethanol

MAO Yuzhong¹, ZHU Jianzhang², ZHA Fei^{1*}, TIAN Haifeng¹, TANG Xiaohua¹

(1. College of Chemistry and Chemical Engineering, Northwest Normal University, Lanzhou 730070, Gansu, China; 2. School of Petrochemical Engineering, Bayin Guoleng Vocational and Technical College, Korla 841000, Xinjiang, China)

Abstract: CuCo/NC supported by nitrogen-doped carbon material (NC) was prepared by assisted impregnation method using melamine and β -cyclodextrin as raw materials, and characterized by XRD, SEM, EDS, CO₂-TPD, H₂-TPR, N₂ adsorption-desorption, XPS as well as Raman spectroscopy. The catalytic performance of CuCo/NC for hydrogenation of CO₂ to ethanol was evaluated in a fixed bed reactor, with the influence of n(Cu): n(Co), reaction temperature, $V(H_2)/V(CO_2)$, space velocity and reaction pressure on the reaction analyzed, and the catalytic reaction mechanism speculated. The results showed that the addition of β -cyclodextrin and ethylene diamine tetra-acetic acid promoted the dispersion of Cu and Co on NC surface, and the catalyst Cu₂Co₁/NC prepared by n(Cu): n(Co)=2:1 had the largest specific surface area (48.07 m²/g). Under the conditions of reaction temperature 200 °C, $V(H_2)/V(CO_2)=3$, air velocity 12000 mL/(g_{cat}·h) and pressure 2.0 MPa, the CO₂ conversion rate was 9.3% and the ethanol selectivity was 18.0%, and in the stability test for 80 h, the CO₂ conversion rate was 7.8%~9.3%, and the

收稿日期: 2024-10-09; 定用日期: 2024-11-21; DOI: 10.13550/j.jxhg.20240764

基金项目: 国家自然科学基金项目(22268039); 甘肃省重点研发计划项目(23YFFA0075)

作者简介: 毛瑀中 (1994—),男,硕士生,E-mail: 343003568@qq.com。**联系人:** 查 飞 (1970—),男,教授,E-mail: zhafei@nwnu.edu.cn。

ethanol selectivity remained at 16.6%~18.0%. Different N environments (pyridinic N, graphitic N) on CuCo/NC surface could coordinate the process of CO₂ activated hydrogenation and carbon chain growth. Cu⁰, Cu⁺, pyridinic N and graphitic N codetermined the adsorption and activation of CO₂. The action of Co—N could effectively promote the hydrogenation of non-dissociated CO, obtain the active intermediate *CH_xO, and promote the growth of carbon chain.

Key words: CuCo alloy; CO₂ hydrogenation; ethanol; cyclodextrin; melamine; catalysis technology

随着工业生产过程中大量化石燃料的消耗,CO₂ 排放量逐年增加,全球气候变化加剧,自然灾害频发^[1]。将 CO₂ 转化为高附加值化学品是解决温室效应、实现可持续碳循环的有效途径^[2-3]。乙醇既是一种液体能量载体,又是一种高附加值的化工原料,因此,CO₂加氢制乙醇是 CO₂资源利用的一种有效途径^[4-5]。

在 CO_2 加氢制备 C_{2+} 产物的过程中,存在缓慢 的电子转移和复杂的 C—C 耦合。Cu 和 Co 催化剂 有助于上述进程: Cu 表面有助于促进 CO2 活化和 CO 的非解离吸附,从而插入 CO 并产生醇^[6]; Co 可以有效解离 CO,产生 CH_r,与插入的 CO 共同完 成碳链的增长[7-9]。因此, Cu 和 Co 双活性位点的协 同作用可能是提高乙醇选择性的关键。但 Cu 和 Co 金属混溶性较低, 这是亟待解决的问题[10-11]。YANG 等[12]采用表面活性剂辅助制备 CuCo/SiO2 催化剂, 结果发现,表面活性剂有利于金属分散,并使 SiO2 表面具有更丰富的 CuO, Co₃O₄作为活性中心,可以 实现 CO 转化为乙醇, 但金属氧化物高温下的价态 转变成为催化剂失活的主要因素之一。LIU 等[13]研 究发现, CuCo 合金表面暴露出的 CoCu(111)晶面不 仅能够有效吸附 CO₂, 并且由于金属偏析效应, 更 多的烷氧自由基(*CH2O)会集中在 Co 偏析位点与 CO 完成碳链的增长,同时,合金相的形成也有利于 催化剂稳定性的提高。

碳材料通常具有大比表面积、高导电性和良好的化学稳定性,是最常用的催化剂载体之一。目前,许多碳材料,如生物质炭、石墨烯、碳纳米管、碳纳米纤维、碳纳米笼等[14-15],已用于负载 CO₂ 加氢催化剂。然而,单一碳载体存在一些缺点,如与金属间的相互作用较弱、难以实现活性金属的均匀分散、对 CO₂ 活化能力较弱等。要克服这些缺点,研究者探索了多种化学或物理改性碳载体的方法,杂原子掺杂已被证明是一种可靠的改性方法[16-17]。N 的掺杂能够优化碳载体表面 Lewis 碱性位点,形成的吡啶 N 和石墨 N 对 CO₂ 吸附、活化有良好的作用。同时,N 易与 Cu、Co 金属形成 Mott-Schottky 效应,尤其是形成的 Co—N 作用,有利于非解离 CO 的加氢和不同活性位点的协调作用,促进了 CO₂ 制备乙醇^[17-19]。在浸渍液中控制添加有机化合物,不仅可以与无机

金属盐溶液生成螯合物,使金属更均匀地分散在催化剂表面,也可以改善金属间相互作用,提高催化剂的性能^[19-20],这种效应通常也与氨基化合物螯合金属离子的能力强,可以形成明显的配位络合物有关,这会导致煅烧后表面活性金属更好地分散^[14,21]。在β-环糊精存在下,通过浸渍法制备的 Co 催化剂,Co 离子与环糊精形成稳定的配合物可以通过阻止Co 离子相互作用,最大限度地减少聚集过程,从而增强 CoO 颗粒在载体上的分散性和还原性^[22]。

本文拟选用三聚氰胺为碳源和氮源,添加 β -环 糊精和乙二胺四乙酸(EDTA),采用辅助浸渍法来制备 CuCo/NC 催化剂。考察 Cu 与 Co 物质的量比对 N 在催化剂表面的存在形态,以及 Cu_xCo_y/NC(其中,x 和 y 为 Cu 与 Co 的物质的量比)对 CO₂ 吸附和活化效果的影响,希望有机物的加入可以使催化剂在高温煅烧前形成金属螯合物,加强金属载体的相互作用,形成 Co—N—C,促进乙醇的产生[23-24]。探究反应条件对 Cu_xCo_y/NC 催化 CO₂ 加氢制乙醇活性的影响。以期通过 CO₂ 的化学转化,实现温室气体的减排,提供由热催化 CO₂生产乙醇的新方法,缓解日益严重的粮食危机。

1 实验部分

1.1 试剂与仪器

Co(NO₃)₂•6H₂O、EDTA,分析纯,上海麦克林 生化科技股份有限公司; Cu(NO₃)₂•3H₂O,分析纯, 上海金山化工厂;无水乙醇,分析纯,天津市凯通 化学试剂有限公司;β-环糊精,工业级,烟台市双 双化工有限公司;三聚氰胺、碳酸钠、碳酸氢钠, 分析纯,国药集团化学试剂有限公司。

D/MAX-2400 型 X 射线衍射仪(XRD),日本Rigaku 公司;Zeiss Ultra Plus 型场发射扫描电子显微镜(SEM),德国 Carl Zeiss 公司;MFTP3060 型多用吸附仪、WR-04 型微分高压固定床,中国厦门百得沃智能科技有限公司;Autosorb-1-MP 物理吸附分析仪,美国 Quantachrome Instruments 公司;RFS100S 型傅里叶拉曼光谱仪(Raman),德国Bruker 公司;EscaLab Xi+型 X 射线光电子能谱仪(XPS),美国 Thermo Fisher Scientific 公司;

FULI9790 型气相色谱仪,浙江福立分析仪器有限公司; TM-0914S 型陶瓷纤维马弗炉,北京盈安美诚科学仪器有限公司。

1.2 催化剂的制备

采用 β-环糊精和 EDTA 辅助浸渍法制备 CuCo/NC 催化剂,制备过程示意图见图 1。

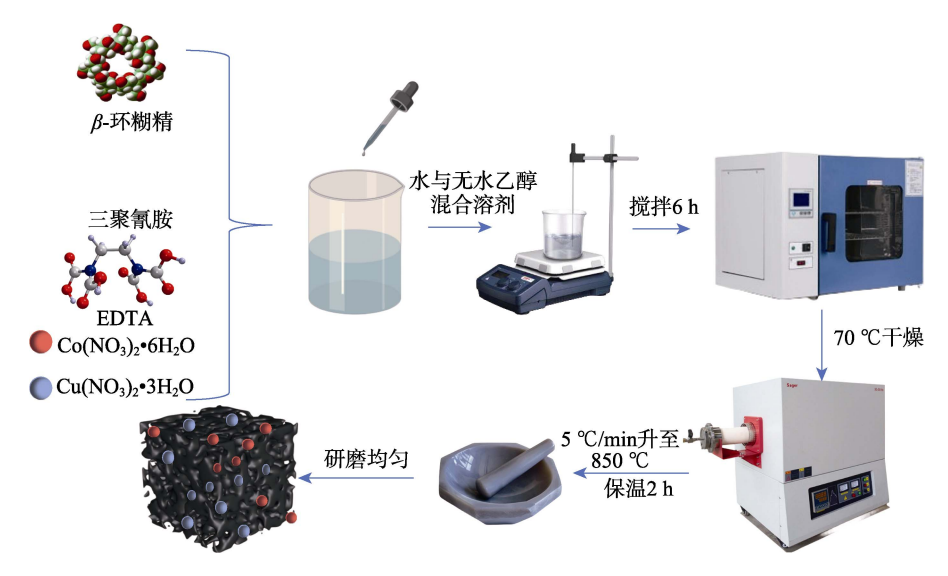


图 1 浸渍法制备 CuCo/NC 的过程示意图

Fig. 1 Schematic diagram of preparation process of CuCo/NC by impregnation method

按照 n(Cu): n(Co)=2:1,分别称取 4.82 g (10 mmol) Cu(NO₃)₂•3H₂O 和 2.91 g (10 mmol) Co(NO₃)₂•6H₂O,将其共同溶解在 30 mL V(无水乙醇): V(水)=1:1 的混合溶剂中,然后加入 2.90 g EDTA,搅拌 2 h 后,再加入 11.00 g β -环糊精和 1.40 g 三聚氰胺,于 60 °C混合搅拌 6 h,冷却、过滤,最后将滤饼固体在 70 °C下干燥后,置于马弗炉中,N₂气氛 850 °C煅烧 2 h,制备得到 6.30 g 黑色固体粉末 n(Cu): n(Co)=2:1 的催化剂 CuCo/NC,记为 Cu₂Co₁/NC。

采用 Cu_2Co_1/NC 相同的制备方法和步骤,分别按照 n(Cu): n(Co)=3:1、1:1、1:2、1:3,调整 $Cu(NO_3)_2•3H_2O$ 和 $Co(NO_3)_2•6H_2O$ 的质量,制备的 CuCo/NC 分别记为 Cu_3Co_1/NC 、 Cu_1Co_1/NC 、 Cu_1Co_2/NC 、 Cu_1Co_3/NC 。

采用共沉淀法制备无载体催化剂 CuCo。根据n(Cu): n(Co)=2:1,分别将 4.82 g(20 mmol)Cu(NO₃)₂•3H₂O 和 2.91 g(10 mmol)Co(NO₃)₂•6H₂O,溶解在 30 mL 去离子水中,得到 Cu/Co 金属盐溶液。用 $m(NaHCO_3): m(Na_2CO_3)=1:4$ 的混合盐溶液(其中,NaHCO₃质量浓度为 100 g/L)调节 Cu/Co 金属盐溶液至 pH=8.0,然后在 80 °C下剧烈搅拌 4 h,再陈化 2 h后过滤,最后将滤饼固体载 70 °C下干燥后,置于马弗炉中,N₂气氛 850 °C煅烧 2 h,制备得到 5.20 g 黑色固体粉末无载体催化剂 CuCo,记为 CuCo-single。

1.3 催化剂的表征

XRD 测试: 靶材 Cu, 管电压 40 kV, 管电流

60 mA, K_a射线波长 0.1542 nm, 扫描速率 8 (°)/min, 扫描范围 5°~80°。SEM 测试: 样品喷金, 低位二次 电子(LEI)模式,工作电流 20 μA, 电子加速电压 5.0 kV。H₂-TPR 测试:将 15 mg 样品装入石英管中, 通入 H₂体积分数 5%的 H₂/Ar 混合气,保持升温速 率 10 ℃/min, 温度由室温升至设定温度, 使用热导 池检测器(TCD)检测耗氢量。CO2-TPD测试:将 15 mg 样品装入石英管中, 通入 He 气, 500 ℃下脱 水处理后, 通入 30 mL/min 的 CO₂, 在 80 ℃下吸 附 30 min 后,保持升温速率 10 ℃/min,将温度升 至设定温度,使用TCD检测CO2消耗量。N2吸附-脱附测试:采用静态吸附法,以 N2 为吸附质,在 77.15 K 下对 0.0800 g 样品进行 N₂ 吸附-脱附曲线测 试,测定样品的比表面积和孔径分布。Raman 测试: 激发波长 532 nm, Raman 位移范围 100~3500 cm⁻¹。 XPS 测试: Al K_α 为射线源 (hv=1486.68 eV), 并以 C1s(284.6 eV)为基准对数据进行校正。工作电压 14.8 kV, 灯丝电流 11 mA, 真空度 8×10⁻¹⁰ Pa。

1.4 催化剂性能评价

使用高压固定床反应装置对催化剂催化 CO_2 加氢制乙醇反应的性能进行评价,装置流程示意图如图 2 所示。将 0.3 g 催化剂填装在石英管中(外径 10 mm、内径 9 mm、总长 64.3 mm),反应前催化剂在流速为 20 mL/min 的 N_2 条件下 300 °C活化 2 h。按照 $V(H_2):V(CO_2):V(N_2)=3:1:1$,即氢碳比〔 $V(H_2)/V(CO_2)$ 〕=3 通入反应器,控制总流量60 mL/min,在保持空速 12000 mL/(g_{cat} ·h)、反应温

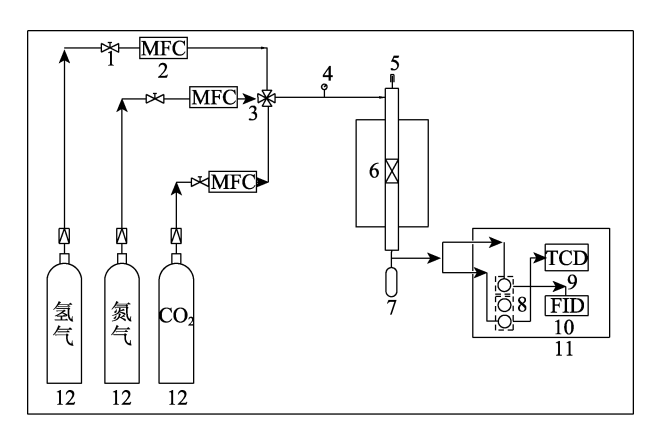
度 200 °C、压力 2.0 MPa 下进行反应。反应物和产物用 GC 分析。分析条件:CB-624 毛细管柱(30 m× 0.32 mm×15 μ m)和 TDX-1 填充柱(3 m×3 mm)分离原料和产物,汽化室温度 120 °C,柱温 40 °C,TCD 温度 120 °C,氢火焰检测器(FID)200 °C,工作电流为 80 mA。通过面积归一法和碳原子守恒法,根据式(1)、(2)计算 CO₂ 转化率(%)和产物选择性(%):

产物*i*选择性/%=
$$\frac{A_i/A \times X_i}{\sum (A_i/A \times X_i)} \times 100$$
 (2)

式中: $n(CO_2,in)$ 、 $n(CO_2,out)$ 分别为 CO_2 总进料量、反应后 CO_2 剩余量, mol; A_i 为产物 i 的色谱峰面积; A 为所有产物色谱峰总面积; X_i 为产物 i 中含有的碳原子数。

在考察得到最佳催化剂的基础上,固定 N_2 流速 25 mL/min,通过调整 $V(H_2)/V(CO_2)$ (1、2、3、4)、空速〔12000 mL/(g_{cat} ·h)〕、反应温度(180、200、220、240、260、280 $^{\circ}$ C)、压力(1.0、1.5、2.0、2.5 MPa),考察不同单因素条件对 CO_2 转化率和产物 i 选择性的影响。

考察 Cu₂Co₁/NC 在最佳条件下 80 h 的稳定性。



1—球阀;2—质量流量计;3—单向四通阀;4—压力表;5—温度传感器;6—固定床反应器;7—储液罐;8—进样口;9—热导检测器;10—氢火焰检测器;11—气相色谱仪;12—气瓶图2 催化剂性能评价装置示意图

Fig. 2 Schematic diagram of catalyst activity evaluation device

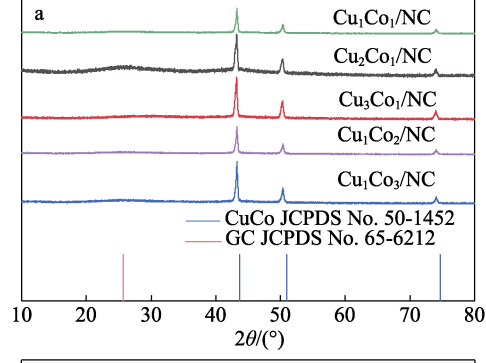
2 结果与讨论

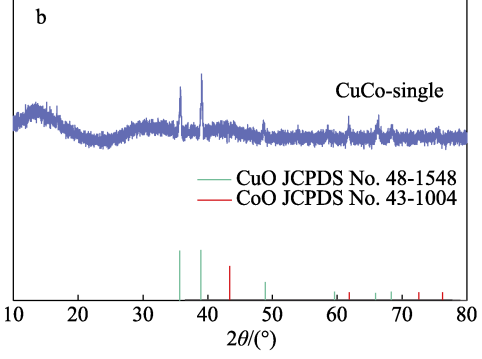
2.1 CuCo/NC 的表征

2.1.1 XRD和 Raman 分析

图 3 为 CuCo/NC 和 CuCo-single 的 XRD 谱图及 Raman 谱图。

从图 3a 可以看出,CuCo/NC 在 2θ =43.7°、50.9°、74.7°处的衍射峰表明 CuCo/NC 中 Cu、Co 具有合金结构,在 2θ =26.4°处的宽峰是石墨碳的衍射峰^[25-26]。





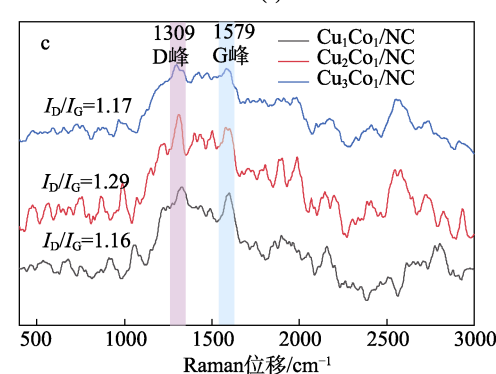


图 3 CuCo/NC(a)和CuCo-single(b)的XRD谱图; CuCo/NC的Raman谱图(c)

Fig. 3 XRD patterns of CuCo/NC (a) and CuCo-single (b); Raman spectra of CuCo/NC (c)

不同 n(Cu): n(Co)组成的 CuCo/NC 的衍射峰位置及峰强度变化不大,说明 n(Cu): n(Co)不是影响合金结构的决定因素。 Cu_2Co_1/NC 石墨相特征峰较强,同时具有较强的 CuCo 合金衍射峰,可能是由于金属在载体表面分散较为均匀。

从图 3b 可以看出,CuCo-single 在 2θ =36.5°、43.4°、61.5°、73.7°、77.5°的峰为 CoO 的特征峰, 2θ =38.9°、48.7°、58.3°、66.2°、68.2°处的峰为 CuO 的特征峰。表明没有载体存在时,在相同煅烧温度下,Cu、Co 不容易形成 CuCo 合金,而是以氧化物的形式存在。

从图 3c 可以看出,D带为碳晶格缺陷的特征峰,主要反映催化剂表面缺陷量($1300\sim1400~cm^{-1}$); G 带是碳原子面内伸缩振动特征峰,与催化剂石墨化程度相关($1550\sim1650~cm^{-1}$),D 峰与 G 峰的强度(I)

比(I_D/I_G)通常用于估计石墨材料表面氧空位缺陷的含量,其值越高,表明石墨结构中缺陷、紊乱的丰度越高。 Cu_2Co_1/NC 的 $I_D/I_G=1.29$,相比 Cu_1Co_1/NC ($I_D/I_G=1.16$)和 Cu_3Co_1/NC ($I_D/I_G=1.17$)具有更高的缺陷度,可能具有更多的活性中心 $[^{27}]$ 。

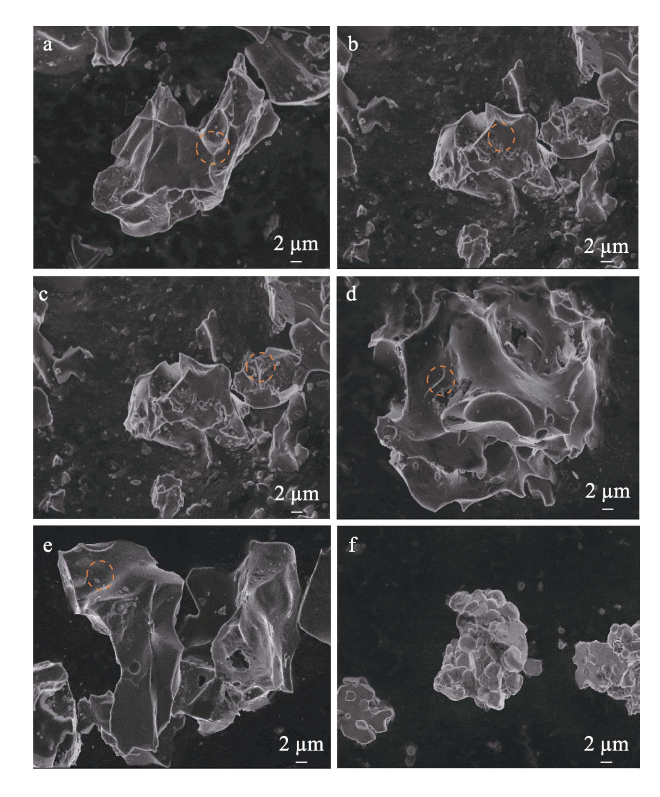
2.1.2 SEM 和 EDS 分析

图 4 为 CuCo/NC 和 CuCo-single 的 SEM 图。表 1 为 CuCo/NC 的 EDS 测试数据。

从图 $4a\sim e$ 可以看出,当 n(Cu):n(Co)=3:1 时, Cu_3Co_1/NC 形貌破碎,结构坍塌(图 4a),这是因为, Cu 金属具有刻蚀作用。随着 n(Cu):n(Co)从 3:1 减至 2:1 (图 4b) 和 1:1 (图 4c),因为 Cu 金属的刻蚀作用而在催化剂表面出现的孔洞逐渐消失;随着 n(Cu):n(Co)从 1:1 继续减小至 1:2 (图 4d) 和 1:3 (图 4e), Co 质量分数增加,催化剂出现少量的团聚,但并没有对形貌产生太大影响。而 CuCosingle 出现大量金属氧化物的团聚(图 4f)。

从表 1 可以看出, $Cu_3Co_1/NC \cdot Cu_2Co_1/NC \cdot Cu_1Co_1/NC$ 经 EDS 测试的 n(Cu):n(Co)分别为 2.87:1.00、1.87:1.00、0.97:1.00,与理论值(3:1、2:1、1:1)较为接近;而 $Cu_1Co_2/NC \cdot Cu_1Co_3/NC$ 经 EDS 测试的 n(Cu):n(Co)分别为 1.00:1.54、1.00:2.45,与理论值(1:2、1:3)差距较大。这是因为,载体比表面积的限制导致金属无法很好地结合在载体表面。同时,由于金属离子与含 N 有机

物的螯合作用,更多的金属负载也造成了较多的 N 掺杂,这也为建立更多的活性中心提供了帮助。



 $\begin{array}{lll} a-Cu_3Co_1/NC\;;\; b-Cu_2Co_1/NC\;;\; c-Cu_1Co_1/NC\;;\; d-Cu_1Co_2/NC\;;\\ e-Cu_1Co_3/NC\;;\; f-CuCo\text{-single} \end{array}$

图 4 CuCo/NC 和 CuCo-single 的 SEM 图 Fig. 4 SEM images of CuCo/NC and CuCo-single

表 1 样品的 EDS 数据 Table 1 EDS data of the samples

CuCo/NC —	质量分数/%				$n(C_{22}) \cdot n(C_{22})$	珊沙 **(C**) : **(C**)
	С	N	Cu	Co	- $n(Cu) : n(Co)$	理论 <i>n</i> (Cu): <i>n</i> (Co)
Cu ₃ Co ₁ /NC	66.7	6.2	19.2	6.2	2.87:1.00	3:1
Cu_2Co_1/NC	52.2	7.6	26.6	13.2	1.87:1.00	2:1
$Cu_{1}Co_{1}/NC \\$	69.7	6.9	12.4	11.9	0.97:1.00	1:1
Cu_1Co_2/NC	72.4	6.2	7.9	12.0	1.00: 1.54	1:2
Cu_1Co_3/NC	72.1	6.4	6.2	15.2	1.00: 2.45	1:3

2.1.3 比表面积和孔径分布分析

表 2 为 CuCo/NC 和 CuCo-single 的 BET 测试结果。

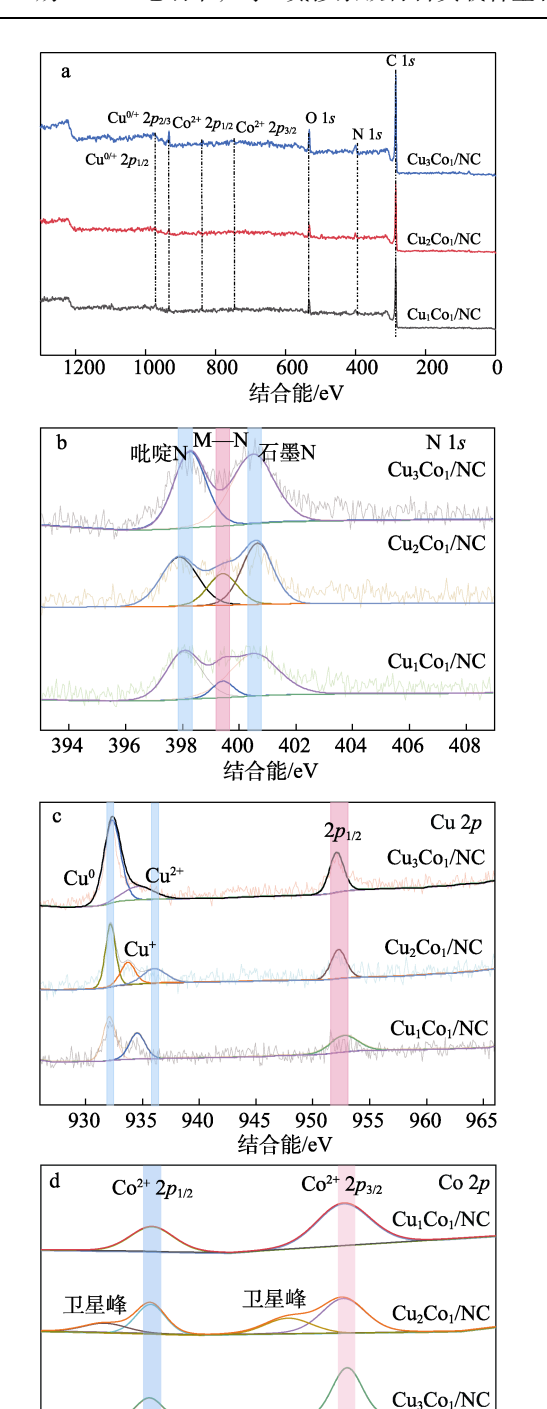
表 2 样品的 BET 分析结果 Table 2 BET analysis results of samples

	•	•	
样品	比表面积/(m²/g)	孔体积/(cm³/g)	孔径/nm
Cu ₃ Co ₁ /NC	34.14	0.036	3.08
$Cu_{2}Co_{1}/NC \\$	48.07	0.037	3.06
$Cu_{1}Co_{1}/NC \\$	32.97	0.028	3.89
$Cu_{1}Co_{2}/NC \\$	35.17	0.028	3.39
Cu_1Co_3/NC	36.05	0.034	4.27
CuCo-single	12.15	0.016	1.48

从表 2 可以看出, Cu_2Co_1/NC 具有最大的比表面积(48.07 m^2/g),其他 4 种 CuCo/NC 的比表面积(32.97~36.05 m^2/g)差别不大。这是因为,Cu、Co 对催化剂都有一定的刻蚀作用,但 Co 对催化剂表面的影响较小,Co 相对含量变化时,对比表面积影响不大。而 Cu 的增加有助于微孔的增加,作为活性中心,适当的孔径可以产生择形效应,从而提高乙醇的选择性。

2.1.4 XPS 分析

图 5 为 Cu₃Co₁/NC、Cu₂Co₁/NC、Cu₁Co₁/NC 的 XPS 谱图。



a—XPS 全谱; b—N 1*s* 高分辨 XPS 谱图; c—Cu 2*p* 高分辨 XPS 谱图; d—Co 2*p* 高分辨 XPS 谱图

790

结合能/eV

785

780

775

795

805

800

图 5 Cu_3Co_1/NC 、 Cu_2Co_1/NC 、 Cu_1Co_1/NC 的 XPS 谱图 Fig. 5 XPS spectra of Cu_3Co_1/NC , Cu_2Co_1/NC , Cu_1Co_1/NC

从图 5a 可以看出, 3 种催化剂主要由 Cu、Co、N、O、C 元素组成。

从图 5b 可以看出,催化剂表面主要存在吡啶 N 和石墨 N,随着 n(Cu): n(Co)的增加,吡啶 N 相对含量逐渐升高。吡啶 N 和石墨 N 同时可以促进 CO_2 吸附和转化。 Cu_2Co_1/NC 位于结合能 399.40 eV 的是

金属—N(M—N)的衍射峰,由于 Co—N 的结合能较低,部分 N 与 Co 相互作用产生 Co—N,对吸附 H 有良好的效果,因此, Cu_2Co_1/NC 更多的 Co—N 对 CO 到* CH_2O 的转化具有促进作用,这也成为 CO 到乙醇的关键步骤^[28]。

从图 5c 可以看出,结合能 952.4 eV 为 Cu $2p_{1/2}$ 衍射峰。结合能 932.8 和 935.4 eV 处的峰分别对应 Cu⁰ 和 Cu²⁺,Cu₂Co₁/NC 在结合能 933.5 eV 处的峰 表示 Cu⁺的信号,这可能是由于 Cu₂O 的存在。研究 表明^[29-30],在 Cu₂O 晶面易发生 CO₂到 CO 的转化,因此,Cu₂Co₁/NC 具有更好的 CO₂活化性能。

从图 5d 可以看出, 结合能 785.0 和 797.9 eV 处的峰分别对应 Co $2p_{3/2}$ 和 Co $2p_{1/2}$ 的衍射峰, Cu₂Co₁/NC 在 787.6 eV 处出现卫星峰, 这也意味着较多的 Cu、Co 金属掺杂形成了不同的 Co—N 结构, 有利于 CO_2 形成醇[31]。

2.1.5 CO₂-TPD 和 H₂-TPR 分析 图 6 为 CuCo/NC 的 CO₂-TPD 和 H₂-TPR 谱图。

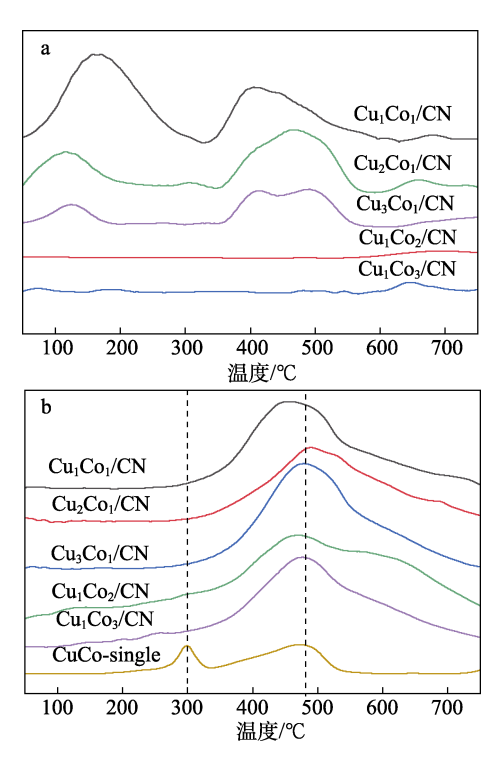


图 6 CuCo/NC 的 CO₂-TPD (a) 和 H₂-TPR (b) 谱图 Fig. 6 CO₂-TPD (a) and H₂-TPR (b) spectra of CuCo/NC

从图 6a 可以看出,5 种 CuCo/NC 在 70~250 ℃ 有一个弱碱性位点的化学解吸峰,在 350~550 ℃处则表现为不饱和位点的活性中心解吸峰。CuCo/NC 催化剂表面 CO_2 的吸附量由大到小依次为 $Cu_3Co_1/NC>Cu_1Co_1/NC>Cu_1Co_3/NC>Cu_1Co_2/NC$,这与 N 1s 的 XPS 谱中吡啶 N 含量的变化顺序一致,表明 CuCo/NC 表面吡啶 N 和石墨 N 的含量一定程度上决定了 CO_2 吸附与活化性能[31]。N 的掺杂在增

加碱性位点的同时可以防止羟基自由基(\cdot OH)的 丢失,抑制烷烃的产生,从而提高乙醇的选择性[132]。从图 6 b 可以看出, 4 80 $^{\circ}$ C左右存在 1 1 个还原峰,随着 n (Cu): n (Co)的增加,还原峰向着高温方向移动,表明催化剂金属的还原性能都有所提升。当 Cu、Co含量增加时,由于金属之间相互作用增强,金属还原所需的耗氢量更高,有助于维持催化剂活性的稳定。当 n (Cu): n (Co)=2:1 时,金属间相互作用最为明显,催化剂具有最好的还原性。当催化剂中不加入 NC 载体时,CuCo-single 的金属更多以 CuO、CoO 的形式存在, 3 00 $^{\circ}$ C附近为 CuO 的还原以及Co 4 03 还原为 CoO 的还原峰,而 4 50~500 $^{\circ}$ C附近则为 CoO 还原为 Co 的特征峰。结合 XRD 谱图可知,NC 的加入有助于 CuCo 合金相的形成,同时载体与金属的相互作用导致 126 1。

2.2 催化剂性能分析

2.2.1 催化剂筛选

表 3 为 CuCo/NC 活性测试结果。

表 3 CuCo/NC 的活性 Table 3 Catalyst activity of CuCo/NC

样品	CO ₂ 转化率/% ·	产物选择性/%				
1十1日		总醇	甲醇	乙醇	丙醇	烷烃
Cu ₁ Co ₁ /NC	8.4	33.0	25.4	6.3	1.3	67.0
Cu_2Co_1/NC	9.3	46.2	25.3	18.0	2.9	53.8
$Cu_{3}Co_{1}/NC \\$	7.6	34.2	24.5	7.6	2.1	65.8
Cu_1Co_2/NC	5.1	27.5	22.6	3.3	1.6	72.5
Cu_1Co_3/NC	6.2	31.9	24.1	6.5	1.3	68.1

注: 反应条件为 V(H₂)/V(CO₂)=3、空速 12000 mL/(g_{cat}·h)、 催化剂用量 0.3 g、温度 200 ℃、压力 2.0 MPa。

从表 3 可以看出, Cu_2Co_1/NC 的 CO_2 转化率(9.3%)及乙醇选择性(18.0%)较高。这是因为, Cu_2Co_1/NC 较高的比表面积(48.07 m^2/g)对 CO_2 吸附性能较好。恰当的 Cu、Co 比例能够很好地平衡 CO 解离与非解离的转化,抑制 CH_x ($x=1\sim4$)的过量加氢转化为甲烷^[33]。然而,过量的 Cu 会导致催化剂结构坍塌,这是由于 Cu 具有刻蚀作用。因此,当 n(Cu): n(Co)=2:1 时, Cu_2Co_1/NC 具有较好的 CO_2 转化率和乙醇选择性。后续实验选择 Cu_2Co_1/NC 为催化剂。

2.2.2 单因素实验

图 7a 为反应温度对 Cu₂Co₁/NC 催化性能的影响。 从图 7a 可以看出,随着温度的升高,CO₂转化率由 6.3%开始逐渐升高,但乙醇选择性先升高后降低。当温度达到 200 ℃时,乙醇选择性最高,为 18.0%。这是因为,温度升高有利于 CO 解离氢化,但过高的温度会导致 CO 的过度解离,促进烷烃及 C1 产物的生成;当温度 280 ℃时,烷烃选择性达到最高。

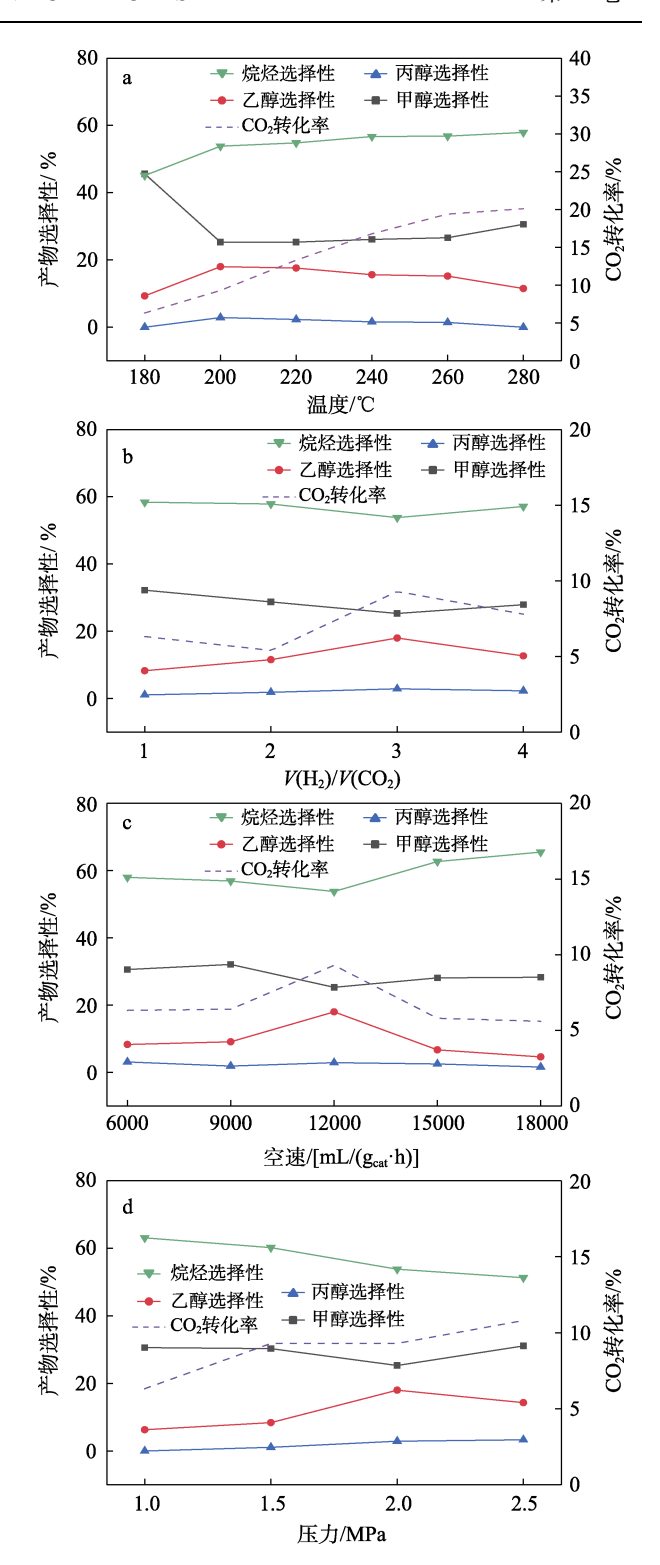


图 7 温度(a)、V(H₂)/V(CO₂)(b)、空速(c)和压力(d) 对 Cu₂Co₁/NC 催化性能的影响

Fig. 7 Effects of temperature (a), $V(H_2)/V(CO_2)$ (b), space velocity(c) and pressure (d) on catalytic performance of Cu_2Co_1/NC

图 7b 为 $V(H_2)/V(CO_2)$ 对 Cu_2Co_1/NC 催化性能的影响。

从图 7b 可以看出,当 $V(H_2)/V(CO_2)$ < 3 时,由于 H_2 量较小,在催化剂表面 CO_2 不能与充足的 H_2 接触进行逆水煤气反应,导致 CO_2 转化率较低;同

时,由于未解离的 CO 相对较多,产生的 CH_x 相对较少,因此,当 $V(H_2)/V(CO_2)$ 较低时,甲醇的选择性较高。当 $V(H_2)/V(CO_2)$ =3 时,催化剂具有最好的 CO_2 转化率(9.3%)和乙醇选择性(18.0%)。当 $V(H_2)/V(CO_2)$ =4 时, Cu_2Co_1/NC 加氢速率较高,反应更易生成烷烃产物^[34]。

图 7c 为空速对 Cu₂Co₁/NC 催化性能的影响。

从图 7c 可以看出,随着空速的增加,Cu₂Co₁/NC 活性有适当的增加,当空速达到 12000 mL/(g_{cat}·h) 时,催化剂具有最高的乙醇选择性(18.0%)及 CO₂转化率(9.3%)。当空速达到 18000 mL/(g_{cat}·h),由于气体流速过快,气体与催化剂接触时间过短,无法与活性中心充分接触,从而导致 CO₂不能被充分活化,影响 CO₂的吸附转化,CO₂转化率只有 5.6%,乙醇选择性也显著降至 4.6%。

图 7d 为反应压力对 Cu₂Co₁/NC 催化性能的影响。 从图 7d 可以看出,随着压力的增大,CO₂ 转 化率从 6%逐渐上升,乙醇选择性在压力为 2.0 MPa 时达到最高(18.0%)。这是因为,CO₂ 活化和 CO 解离都需要一定的能垒,压力较低时,所提供的能 垒较低,会更容易转化为 C₁产品。

综上所述,以 Cu_2Co_1/NC 为催化剂,催化 CO_2 加氢合成乙醇的最佳条件为:反应温度 200 $^{\circ}$ $^{\circ$

2.3 催化剂稳定性分析

在 CO₂ 加氢合成乙醇的过程中,催化剂失活是制约其工业应用的一个重要原因。催化剂的失活可能与以下因素有关。首先,尽管高压 H₂气氛有助于催化剂的稳定性,并在一定程度上抑制了催化剂表面金属价态的变化,但过程中的积炭仍不可忽视^[19,35];其次,金属基组分在严苛的反应条件下易发生团聚、烧结和相重构^[36]。图 8 为 Cu₂Co₁/NC 在最佳条件下的稳定性测试结果。

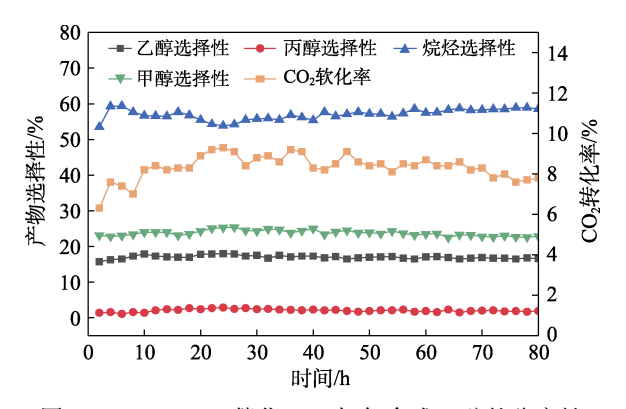


图 8 Cu₂Co₁/NC 催化 CO₂ 加氢合成乙醇的稳定性 Fig. 8 Stability of CO₂ hydrogenation to ethanol over Cu₂Co₁/NC

从图 8 可以看出,在 80 h 的测试期间,CO₂转化率保持在 7.8%~9.3%,乙醇选择性保持在 16.6%~18.0%;乙醇选择性在初始阶段(0~10 h)从 15.7%上升到 18.0%,随后缓慢下降。这是因为,催化剂Cu₂Co₁/NC 由于具有大的比表面积(48.07 m²/g),在初始阶段对 CO₂吸附性能较好,并具有足够的活性位点用于催化 CO₂活化产生 CO,CO 经过非解离加氢产生*CH_xO 等中间产物。由于反应温度相对较低,随着反应的持续进行,积炭无法形成具有高结晶度的碳物种,如碳纤维、碳管,甚至石墨碳,而是在 NC 表面形成了一层无序的碳膜,覆盖了部分CuCo 活性位点,堵塞了部分催化剂孔道,阻碍了气相传质,导致生成的碳沉积物不能迅速扩散,使催化剂活性下降[37-38]。

2.4 催化机理的推测

催化剂表面不同的 N 环境能够协调 CO_2 吸附活化、促进碳链增长。根据 CO 插入反应机理, Cu^0 、 Cu^+ 、吡啶 N 和石墨 N 共同决定 CO_2 的吸附活化, Co—N 的作用可以有效促进非解离 CO 的加氢得到 $*CH_xO$,促进碳链的增长。基于表征和测试结果,推测 Cu_2Co_1/NC 催化 CO_2 加氢合成乙醇的反应机理 为:通过 CO 非解离加氢过程(CO_2 —*CO—*CHO— $*CH_2O$ — $*CH_3O$)得到碳链增长所需要的重要中间体 $*CH_xO$;同时 CO 经过解离加氢(*CO—*HCO— $*CH_2$ — $*CH_3$)得到 $*CH_x$, $*CH_x$ 与 $*CH_xO$ 共同完成碳链增长合成乙醇[39]。

3 结论

利用金属盐、β-环糊精和三聚氰胺,通过 EDTA 辅助浸渍法成功制备了石墨碳化氮为载体、CuCo 合金为活性中心的催化剂 CuCo/NC。

- (1) β-环糊精可以增强金属 Cu、Co 在载体 NC 表面的分散性, EDTA 辅助合成的 NC 可以增强金属与载体之间的相互作用,从而更好地形成合金相和石墨结构。
- (2) CuCo/NC 表面不同的 N 环境能够协调 CO_2 活化加氢、碳链增长的过程,根据 CO 插入法的反应机理, Cu^0 、 Cu^+ 、吡啶 N 和石墨 N 共同决定 CO_2 的吸附活化,Co-N 可以有效促进非解离 CO 的加氢,得到* CH_xO ,促进碳链的增长。
- (3)当n(Cu): n(Co)=2:1时, Cu_2Co_1/NC 具有最好的 CO_2 转化率和乙醇选择性,最佳的反应条件为:反应温度 200 ℃、 $V(H_2)/V(CO_2)=3$ 、空速12000 mL/($g_{cat}\cdot h$)、压力 2.0 MPa,在此条件下, CO_2 转化率为 9.3%,乙醇选择性为 18.0%。
 - (4) Cu₂Co₁/NC 在 80 h 的稳定性测试中, CO₂

转化率保持在 7.8%~9.3%, 乙醇选择性保持在 16.6%~ 18.0%。

参考文献:

- LIU S W, JI C, WANG C, et al. Climatic role of terrestrial ecosystem under elevated CO₂: A bottom-up greenhouse gases budget[J]. Ecology Letters, 2018, 21: 1108-1118.
- [2] YANG X C, ZHANG D T, ZHAO L Q, et al. Upgrading cycling stability and capability of hybrid Na-CO₂ batteries via tailoring reaction environment for efficient conversion CO₂ to HCOOH[J]. Advanced Energy Materials, 2024, 14: 2304365.
- [3] LIU L Z, LI M T, CHEN F, et al. Recent advances on single-atom catalysts for CO₂ reduction[J]. Small Structures, 2023, 4: 2200188.
- [4] LIU Y J, CUI N, JIA P L, et al. Synergy between active sites of ternary CuZnAlOOH catalysts in CO hydrogenation to ethanol and higher alcohols[J]. ACS Sustainable Chemistry & Engineering, 2020, 8: 6634-6646
- [5] YANG Y Z, LIN T J, QI X Z, et al. Direct synthesis of long-chain alcohols from syngas over CoMn catalysts[J]. Applied Catalysis A: General 2018 549: 179-187
- [6] LI B H, ZHANG K H, WANG X J, et al. Construction synergetic adsorption and activation surface via confined Cu/Cu₂O and Ag nanoparticles on TiO₂ for effective conversion of CO₂ to CH₄[J]. Journal of Colloid and Interface Science, 2024, 660: 961-973.
- [7] CAO A, SCHUMANN J, WANG T, et al. Mechanistic insights into the synthesis of higher alcohols from syngas on CuCo alloys[J]. ACS Catalysis, 2018, 8: 10148-10155.
- [8] LIU P, LIANG D L, ZHANG R G, et al. The formations of C₂ species and CH₄ over the Co₂C catalyst in Fischer-Tropsch synthesis: The effect of surface termination on product selectivity[J]. Computational Materials Science, 2020, 172: 109345.
- [9] ZHU X D, SHANG Y S, CHEN J Y, et al. Insight into the role of lanthanum-modified CuCo based catalyst for higher alcohol synthesis from syngas[J]. Fuel Processing Technology, 2022, 235: 107378.
- [10] ZHAO J J, WANG J Q, BAI Y, et al. Mesoporous Ru (Co, Ni) B bimetallic amorphous alloy for CO₂ hydrogenation to formic acid[J]. Journal of CO₂ Utilization, 2023, 74: 102528.
- [11] WANG Z Y, YANG C S, LI X H, et al. The role of CO₂ dissociation in CO₂ hydrogenation to ethanol on CoCu/Silica catalysts[J]. Nano Research, 2023, 16: 6128-6133.
- [12] YANG J Q, GONG N, WANG L, et al. Insights into the one-step ethanol synthesis through CO hydrogenation over surfactant-assisted preparation of CuCo/SiO₂ catalyst[J]. Fuel, 2022, 327: 125078.
- [13] LIU S H, YANG C S, ZHA S J, et al. Moderate surface segregation promotes selective ethanol production in CO₂ hydrogenation reaction over CoCu catalysts[J]. Angewandte Chemie International Edition, 2022, 61: e202109027.
- [14] BAI L, WYRWALSKI F, LAMONIER J F, et al. Effects of β-cyclodextrin introduction to zirconia supported-cobalt oxide catalysts: From molecule-ion associations to complete oxidation of formaldehyde [J]. Applied Catalysis B: Environmental, 2013, 138/139: 381-390.
- [15] CHEN C S, CHEN T C, WU H C, et al. Effect of sodium promoters on Ni/Al₂O₃ catalyst for CO₂ hydrogenation: The carbon fixation as carbon nanofiber and reverse-water gas reactions[J]. Chemical Engineering Journal, 2023, 478: 147373.
- [16] XU Y M, QIAO J S, SUN W, et al. Enhancement of CO₂ activation and coke-resistant ability on Ni/CeO₂ catalyst with La doping for dry reforming of methane[J]. International Journal of Hydrogen Energy, 2024, 88: 1451-1462.
- [17] LIU Y X, WANG H H, ZHAO T J, et al. Schottky barrier induced coupled interface of electron-rich N-doped carbon and electrondeficient Cu: In-built Lewis acid-base pairs for highly efficient CO₂ fixation[J]. Journal of the American Chemical Society, 2019, 141:

- 38-41.
- [18] ZHU D D, CHEN M J, HUANG Y, et al. Tuning the nitrogen contents in carbon matrix encapsulating Co nanoparticles for promoting formaldehyde removal through Mott-schottky effect[J]. Applied Surface Science, 2022, 583; 152552.
- [19] BUI N Q, GEANTET C, BERHAULT G, et al. Activation of regenerated CoMo/Al₂O₃ hydrotreating catalysts by organic additives— The particular case of maleic acid[J]. Applied Catalysis A: General, 2019. 572: 185-196.
- [20] WETCHASAT P, SALAKHUM S, IMYEN T, et al. One-pot synthesis of ultra-small Pt dispersed on hierarchical zeolite nanosheet surfaces for mild hydrodeoxygenation of 4-propylphenol[J]. Catalysts, 2021, 11(3): 333.
- [21] BLASZCZAK P, MIZERA A, BOCHENTYN B, et al. Preparation of methanation catalysts for high temperature SOEC by β-cyclodextrinassisted impregnation of nano-CeO₂ with transition metal oxides[J]. International Journal of Hydrogen Energy, 2022, 47: 1901-1916.
- [22] CHEN Y, LIU Y M, MAO D S, et al. Facile cyclodextrin-assisted synthesis of highly active CuO-CeO₂/MCF catalyst for CO oxidation [J]. Journal of the Taiwan Institute of Chemical Engineers, 2020, 113: 16-26
- [23] HAN B, ZHONG J W, LI W Y, et al. The promotional role of β-cyclodextrin on Ni-Mo₂C/MgO catalyst for biogas reforming[J]. Molecular Catalysis, 2021, 515: 111897.
- [24] LUO G Y, SONG M, AN L L, et al. Synergistically enhanced ORR and HER performance on Co-N-C coupled in-situ generated PtCo intermetallic[J]. Journal of Energy Chemistry, 2025, 100: 721-729.
- [25] BAI Y H, ZHENG Y J, WANG Z, et al. Metal-doped carbon nitrides: Synthesis, structure and applications[J]. New Journal of Chemistry, 2021, 45: 11876-11892.
- [26] SHUI M L, HUANG C, MA P Y, et al. Accelerating C_{2+} alcohols synthesis from syngas by simultaneous optimizations of CO dissociation and chain growth over CuCo alloy catalyst[J]. Chinese Chemical Letters, 2021, 32: 220-2206.
- [27] LI T, LI H, LI C L. Hydrodeoxygenation of vanillin to creosol under mild conditions over carbon nanospheres supported palladium catalysts: Influence of the carbon defects on surface of catalysts[J]. Fuel, 2022, 310: 122432.
- [28] ZHANG X, LI Y A, HUANG Y Z, et al. Impacts of metal-support interaction on hydrogen evolution reaction of cobalt-nitride-carbide catalyst[J]. Frontiers in Chemistry, 2022, 9: 828964.
- [29] SUN Y F, LIU Z, LIU X H, et al. Selective methanol production via CO₂ reduction on Cu₂O revealed by micro-kinetic study combined with constant potential Model[J]. Applied Surface Science, 2025, 681: 161469.
- [30] LI J C, ZHU G Z, LIANG P, et al. Analysis of Si, Cu, and their oxides by X-ray photoelectron spectroscopy[J]. Journal of Chemical Education, 2024, 101: 1162-1170.
- [31] YANG J Q, GONG N N, WANG L Y, et al. Effect of La₂O₃-decorated SiO₂ on the performance of CuCo catalyst for direct conversion of syngas to ethanol[J]. Fuel, 2022, 319: 123811.
- [32] ZHANG Z M, HU X, WANG Y, et al. Regulation the reaction intermediates in methanation reactions via modification of nickel catalysts with strong base[J]. Fuel, 2019, 237: 566-579.
- [33] BIE J, WANG J L, CHEN S, *et al.* Catalytic ability comparison of five transition metal clusters (Zn, Cu, Fe, Ni, and Ru) for heat-induced graphene etching by Ab initio molecular dynamics simulations[J]. Advanced Theory and Simulations, 2022, 5: 2100380.
- [34] CHEN H P, MA N, WANG C W, et al. Insight into the activation of CO₂ and H₂ on K₂O-adsorbed Fe₃C₂(110) for olefins production: A density functional theory study[J]. Molecular Catalysis, 2022, 524: 112323.